



ОБОСНОВЫВАЮЩИЕ МАТЕРИАЛЫ

К СХЕМЕ ТЕПЛОСНАБЖЕНИЯ ГОРОДА КУЙБЫШЕВА КУЙБЫШЕВСКОГО РАЙОНА НОВОСИБИРСКОЙ ОБЛАСТИ НА ПЕРИОД ДО 2040 ГОДА

(АКТУАЛИЗАЦИЯ НА 2026 ГОД)

ГЛАВА 11 «ОЦЕНКА НАДЕЖНОСТИ ТЕПЛОСНАБЖЕНИЯ»

ПРИЛОЖЕНИЕ 1 «СЦЕНАРИИ РАЗВИТИЯ АВАРИЙ В СИСТЕМАХ ТЕПЛОСНАБЖЕНИЯ ПРИ ОТКАЗЕ ЭЛЕМЕНТОВ ТЕПЛОВЫХ СЕТЕЙ И ПРИ АВАРИЙНЫХ РЕЖИМАХ РАБОТЫ СИСТЕМ ТЕПЛОСНАБЖЕНИЯ, СВЯЗАННЫХ С ПРЕКРАЩЕНИЕМ ПОДАЧИ ТЕПЛОВОЙ ЭНЕРГИИ, С МОДЕЛИРОВАНИЕМ РЕЖИМОВ РАБОТЫ ТАКИХ СИСТЕМ»

СОСТАВ РАБОТЫ

Наименование документа	Шифр
Схема теплоснабжения города Куйбышева Куйбышевско-го района Новосибирской области на период до 2040 года (актуализация на 2026 год)	50415.СТ-ПСТ.000.000
<i>Обосновывающие материалы к схеме теплоснабжения города Куйбышева Куйбышевского района Новосибирской области на период до 2040 года (актуализация на 2026 год)</i>	
Глава 1 «Существующее положение в сфере производства, передачи и потребления тепловой энергии для целей теплоснабжения»	50415.ОМ-ПСТ.001.000
Приложение 1 «Тепловые нагрузки и потребление тепловой энергии абонентами»	50415.ОМ-ПСТ.001.001
Приложение 2 «Тепловые сети»	50415.ОМ-ПСТ.001.002
Приложение 3 «Оценка надежности теплоснабжения»	50415.ОМ-ПСТ.001.003
Приложение 4 «Существующие гидравлические режимы тепловых сетей»	50415.ОМ-ПСТ.001.004
Приложение 5 «Графическая часть»	50415.ОМ-ПСТ.001.005
Глава 2 «Существующее и перспективное потребление тепловой энергии на цели теплоснабжения»	50415.ОМ-ПСТ.002.000
Приложение 1 «Характеристика существующей и перспективной застройки и тепловой нагрузки по элементам территориального деления»	50415.ОМ-ПСТ.002.001
Глава 3 «Электронная модель систем теплоснабжения»	50415.ОМ-ПСТ.003.000
Приложение 1 «Графическая часть»	50415.ОМ-ПСТ.003.001
Глава 4 «Существующие и перспективные балансы тепловой мощности источников тепловой энергии и тепловой нагрузки потребителей»	50415.ОМ-ПСТ.004.000
Приложение 1 «Перспективные гидравлические режимы тепловых сетей»	50415.ОМ-ПСТ.004.001
Глава 5 «Мастер-план развития систем теплоснабжения»	50415.ОМ-ПСТ.005.000
Глава 6 «Существующие и перспективные балансы производительности водоподготовительных установок и максимального потребления теплоносителя теплопотребля-	50415.ОМ-ПСТ.006.000

Наименование документа	Шифр
ющими установками потребителей, в том числе в аварийных режимах»	
Глава 7 «Предложения по строительству, реконструкции, техническому перевооружению и (или) модернизации источников тепловой энергии»	50415.ОМ-ПСТ.007.000
Глава 8 «Предложения по строительству, реконструкции и (или) модернизации тепловых сетей»	50415.ОМ-ПСТ.008.000
Глава 9 «Предложения по переводу открытых систем теплоснабжения (горячего водоснабжения), отдельных участков таких систем на закрытые системы горячего водоснабжения»	50415.ОМ-ПСТ.009.000
Глава 10 «Перспективные топливные балансы»	50415.ОМ-ПСТ.010.000
Глава 11 «Оценка надежности теплоснабжения»	50415.ОМ-ПСТ.011.000
Приложение 1 «Сценарии развития аварий в системах теплоснабжения при отказе элементов тепловых сетей и при аварийных режимах работы систем теплоснабжения, связанных с прекращением подачи тепловой энергии, с моделированием режимов работы таких систем»	50415.ОМ-ПСТ.011.001
Глава 12 «Обоснование инвестиций в строительство, реконструкцию, техническое перевооружение и (или) модернизацию»	50415.ОМ-ПСТ.012.000
Глава 13 «Индикаторы развития систем теплоснабжения»	50415.ОМ-ПСТ.013.000
Глава 14 «Ценовые (тарифные) последствия»	50415.ОМ-ПСТ.014.000
Глава 15 «Реестр единых теплоснабжающих организаций»	50415.ОМ-ПСТ.015.000
Приложение 1 «Графическая часть»	50415.ОМ-ПСТ.015.001
Глава 16 «Реестр мероприятий схемы теплоснабжения»	50415.ОМ-ПСТ.016.000
Глава 17 «Замечания и предложения к проекту схемы теплоснабжения»	50415.ОМ-ПСТ.017.000
Глава 18 «Сводный том изменений, выполненных в актуализированной схеме теплоснабжения»	50415.ОМ-ПСТ.018.000

СОДЕРЖАНИЕ

Перечень таблиц	5
Перечень рисунков	6
1 Сценарии развития аварий в системах теплоснабжения при отказе элементов тепловых сетей и при аварийных режимах работы систем теплоснабжения, связанных с прекращением подачи тепловой энергии, с моделированием работы таких систем	7
1.1 Моделирование гидравлических режимов работы систем теплоснабжения	13
1.1.1 Моделирование гидравлических режимов работы систем теплоснабжения при отказе элементов тепловых сетей.....	13

ПЕРЕЧЕНЬ ТАБЛИЦ

Таблица 1.1. Допустимое снижение подачи теплоты при авариях (отказах) в системе централизованного теплоснабжения потребителям второй и третьей категорий	8
--	---

ПЕРЕЧЕНЬ РИСУНКОВ

Рисунок 1.1 – График остывания зданий в аварийной ситуации на источнике теплоснабжения при средней температуре наружного воздуха за ОЗП.....	10
Рисунок 1.2 – График остывания зданий в аварийной ситуации на источнике теплоснабжения при расчетной температуре наружного воздуха	11
Рисунок 1.3 – Отключаемый трубопровод Ду700 мм с выявленным дефектом.....	14
Рисунок 1.4 – Пьезометрический график нормального гидравлического режима БТЭЦ – ул. Агафонова д. 75.....	15
Рисунок 1.5 – Пьезометрический график аварийного гидравлического режима БТЭЦ – ул. Агафонова д. 75.....	16
Рисунок 1.6 – Пьезометрический график нормального гидравлического режима БТЭЦ – ул. Речная д. 11	17
Рисунок 1.7 – Пьезометрический график аварийного гидравлического режима БТЭЦ – ул. Речная д. 11	18
Рисунок 1.8 – Пьезометрический график нормального гидравлического режима БТЭЦ – ул. Октябрьская д. 53	19
Рисунок 1.9 – Пьезометрический график аварийного гидравлического режима БТЭЦ – ул. Октябрьская д. 53	20

1 СЦЕНАРИИ РАЗВИТИЯ АВАРИЙ В СИСТЕМАХ ТЕПЛОСНАБЖЕНИЯ ПРИ ОТКАЗЕ ЭЛЕМЕНТОВ ТЕПЛОВЫХ СЕТЕЙ И ПРИ АВАРИЙНЫХ РЕЖИМАХ РАБОТЫ СИСТЕМ ТЕПЛОСНАБЖЕНИЯ, СВЯЗАННЫХ С ПРЕКРАЩЕНИЕМ ПОДАЧИ ТЕПЛОВОЙ ЭНЕРГИИ, С МОДЕЛИРОВАНИЕМ РАБОТЫ ТАКИХ СИСТЕМ

Согласно СП 124.13330.2012 «Тепловые сети» минимально допустимые показатели вероятности безотказной работы для источника теплоты составляют 0,97. Это означает, что в течении года из 100 источников теплоснабжения допускается выход из строя 3-х источников теплоснабжения с прекращением теплоснабжения на время выше нормативного. Ретроспективный анализ технологических нарушений на источниках теплоснабжения городского поселения города Куйбышева показывает, что за последние 5 лет в результате технологических нарушений ограничений отпуска тепловой энергии и снижения качества теплоносителям не было. Таким образом, фактическая вероятность безопасной работы БТЭЦ города Куйбышева за последние 10 лет существенно выше нормативной.

В соответствии с СП 124.13330.2012 «Актуализированная редакция СНиП 41-02-2003 Тепловые сети» при авариях (отказах) в системе централизованного теплоснабжения в течение всего ремонтно-восстановительного периода должна обеспечиваться:

- подача 100% необходимой теплоты потребителям первой категории (если иные режимы не предусмотрены договором);
- подача теплоты на отопление и вентиляцию жилищно-коммунальным и промышленным потребителям второй и третьей категорий в размерах, указанных в таблице 1.1;
- заданный потребителем аварийный режим расхода пара и технологической горячей воды;
- заданный потребителем аварийный тепловой режим работы неотключаемых вентиляционных систем;
- среднесуточный расход теплоты за отопительный период на горячее водоснабжение (при невозможности его отключения).

Таблица 1.1. Допустимое снижение подачи теплоты при авариях (отказах) в системе централизованного теплоснабжения потребителям второй и третьей категорий

Наименование показателя	Расчетная температура наружного воздуха для проектирования отопления t_0 , °C				
	минус 10	минус 20	минус 30	минус 40	минус 50
Допустимое снижение подачи теплоты, %, до	78	84	87	89	91
Примечание - Таблица соответствует температуре наружного воздуха наиболее холодной пятидневки обеспеченностью 0,92.					

Под аварией (отказе) в системе централизованного теплоснабжения предполагается выход из строя одного наиболее мощного элемента генерирующего оборудования на источнике тепловой энергии, то есть развитие проектной аварии (для которой проектом определены исходные события и конечные состояния и предусмотрены системы безопасности, обеспечивающие, с учетом принципа единичного отказа систем безопасности или с учетом одной, независимой от исходного события ошибки персонала, ограничение ее последствий, установленными для таких аварий пределами).

В данном случае должно быть обеспечено минимально допустимое значение тепловой нагрузки на коллекторах по условиям представленным выше, с учетом тепловых потерь в тепловых сетях. Допустимое снижение подачи теплоты при авариях (отказах) в системе централизованного теплоснабжения потребителям второй и третьей категорий для климатических условий города представлено в таблице 1.1 (климатические условия приняты для ближайшего города представленного в СНиП 23-01-99 «Строительная климатология» СП 131.13330.2020).

Балансы тепловой мощности и присоединенной тепловой нагрузки в условиях аварийного вывода одного наиболее мощного элемента генерирующего оборудования на источнике тепловой энергии рассмотрены в документах «Обосновывающие материалы к схеме теплоснабжения города Куйбышева Куйбышевского района Новосибирской области на период до 2040 года (актуализация на 2026 год). Глава 4. Существующие и перспективные балансы тепловой мощности источников тепловой энергии и тепловой нагрузки потребителей» и «Обосновывающие материалы к схеме теплоснабжения города Куйбышева Куйбышевского района Новосибирской области на период до 2040 года (актуализация на 2026 год). Глава 7. Предложения по строительству, реконструкции, техническому перевооружению и (или) модернизации источников тепловой энергии». В указанных документах сделан вывод о достаточности тепловой мощности оборудования источников теплоснабжения при развитии проектной аварии для покрытия тепловых нагрузок с учетом условий приведенных в таблице 1.1.

Результаты расчетов показателей надежности тепловых сетей, с учетом сложившихся и перспективных гидравлических режимов работы тепловых сетей (приведены в документе «Обосновывающие материалы к схеме теплоснабжения города Куйбышева Куйбышевского района Новосибирской области на период до 2040 года (актуализация на 2026 год). Глава 11. Оценка надежности теплоснабжения») показывают, что вероятность безотказной работы (ВБР) и коэффициент готовности (КГ) для СЦТ города Куйбышева имеют значения выше нормативных. То есть система теплоснабжения имеет способность не допускать отказов, приводящих к падению температуры в отапливаемых помещениях жилых и общественных зданий ниже нормативных, а также характеризуется таким состоянием системы которое способно в произвольный момент времени поддерживать в отапливаемых помещениях расчетную внутреннюю температуру, кроме периодов снижения температуры, допускаемых нормативами.

В целом следует отметить, что сценарии полного аварийного останова источников теплоснабжения города Куйбышева Куйбышевского района Новосибирской области (с прекращением осуществления внешнего теплоснабжения от аварийного источника теплоснабжения) на длительный срок являются запроектными видами аварий (авария, вызванная не учитываемыми для проектных аварий исходными событиями или сопровождающаяся дополнительными по сравнению с проектными авариями отказами систем безопасности, исключая единичный отказ, реализацией ошибочных решений персонала) и не регламентированы СП 124.13330.2012 «Тепловые сети».

Объемы реконструкции тепловых сетей источников централизованного теплоснабжения города Куйбышева Куйбышевского района Новосибирской области, подлежащих замене в связи с исчерпанием эксплуатационного ресурса, а также для обеспечения нормативной надежности теплоснабжения потребителей представлен в документе «Обосновывающие материалы к схеме теплоснабжения города Куйбышева Куйбышевского района Новосибирской области на период до 2040 года (актуализация на 2026 год). Глава 8. Предложения по строительству, реконструкции и (или) модернизации тепловых сетей».

Моделирование гидравлических режимов работы при аварийных режимах работы систем теплоснабжения, связанных с прекращением подачи тепловой энергии от источников тепловой энергии не проводилось, так как зоны действия данных источников не пересекаются и не имеют технологических связей с другими источниками тепловой энергии.

Для аварийного режима связанного с прекращением подачи тепловой энергии от источников теплоснабжения были рассчитаны графики остывания зданий в аварийной

ситуации при средней температуре наружного воздуха за ОЗП (минус 8,5 град. С) и расчетной температуре наружного воздуха (минус 38 град. С). Указанные зависимости построены для случая полного прекращения циркуляции теплоносителя и при остаточной циркуляции теплоносителя (под остаточной циркуляцией теплоносителя подразумевается циркуляция теплоносителя в магистральных и квартальных тепловых сетях при развитии аварии на источнике теплоснабжения за счет работы насосных станций и насосных групп на тепловых пунктах при полном прекращении подачи тепла от источника теплоснабжения, в данном случае учитывается теплоаккумулирующая способность сетевой воды).

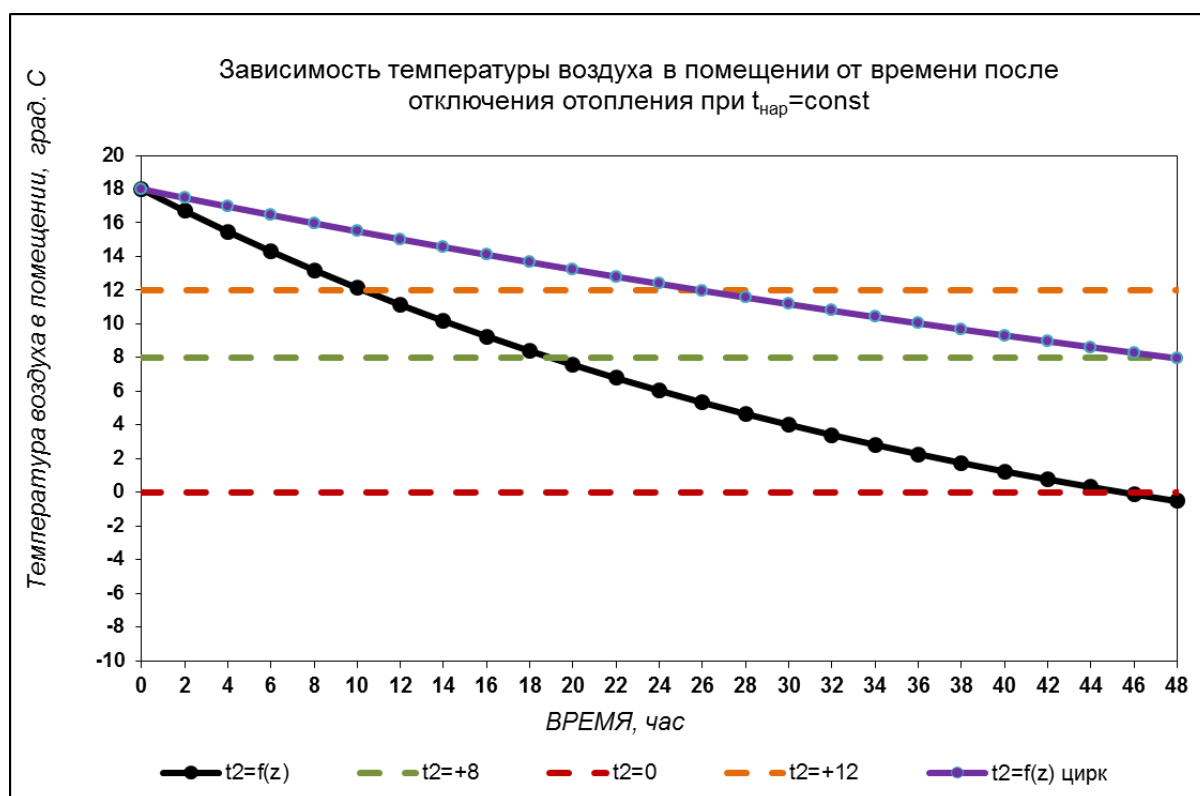


Рисунок 1.1 – График остывания зданий в аварийной ситуации на источнике теплоснабжения при средней температуре наружного воздуха за ОЗП

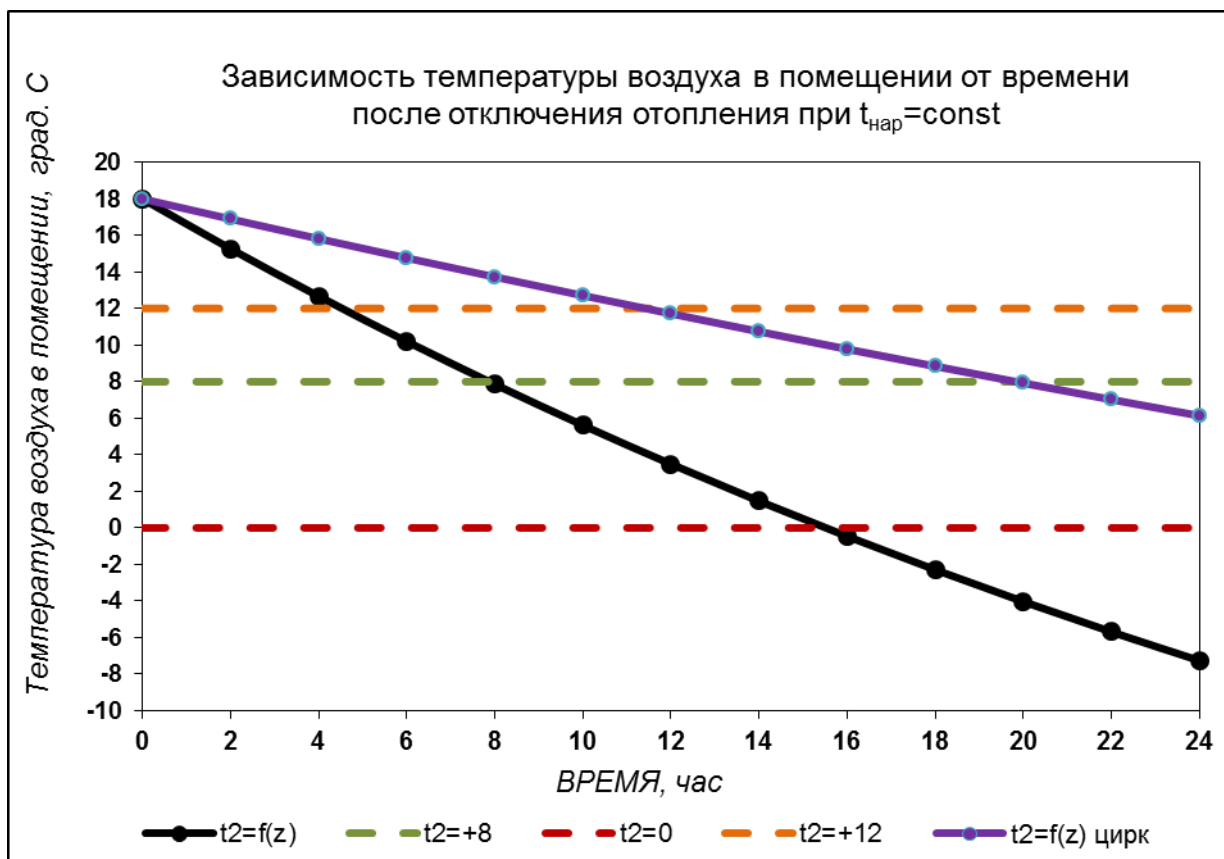


Рисунок 1.2 – График остывания зданий в аварийной ситуации на источнике теплоснабжения при расчетной температуре наружного воздуха

Расчеты показывают, что в случае аварии на источнике теплоснабжения или головных участках тепловой сети:

- при средней температуре наружного воздуха за ОЗП при наличии остаточной циркуляции ($t_2 = f(z)$ цирк), температура воздуха внутри помещения 12 град. С будет достигнута через 25,7 часа, критическая температура 8 град. С (при которой считается, что в подвальных помещениях здания может установиться температура воздуха минус 1-2 град. С) будет достигнута через 47,5 часа;
- при расчетной температуре наружного воздуха, при наличии остаточной циркуляции ($t_2 = f(z)$ цирк), температура воздуха внутри помещения 12 град. С будет достигнута через 11,4 часа, критическая температура 8 град. С (при которой считается, что в подвальных помещениях здания может установиться температура воздуха минус 1-2 град. С) будет достигнута через 19,8 часа;
- при средней температуре наружного воздуха за ОЗП при отсутствии остаточной циркуляции ($t_2 = f(z)$), температура воздуха внутри помещения 12 град. С будет достигнута через 10,2 часа, критическая температура 8 град.

С (при которой считается, что в подвальных помещениях здания может установиться температура воздуха минус 1-2 град. С) будет достигнута через 18,9 часа;

- при расчетной температуре наружного воздуха, при отсутствии остаточной циркуляции ($t_2=f(z)$), температура воздуха внутри помещения 12 град. С будет достигнута через 4,5 часа, критическая температура 8 град. С (при которой считается, что в подвальных помещениях здания может установиться температура воздуха минус 1-2 град. С) будет достигнута через 7,9 часов;

Из вышесказанного можно сделать выводы, что расчетное время восстановления теплоснабжения при достижении критической температуры внутри помещения 8 град. С не должно превышать

- 47,5 часа при средней температуре наружного воздуха за ОЗП при наличии остаточной циркуляции;
- 19,8 часа при расчетной температуре наружного воздуха при наличии остаточной циркуляции;
- 18,9 часа при средней температуре наружного воздуха за ОЗП при отсутствии остаточной циркуляции;
- 7,9 часов при расчетной температуре наружного воздуха при отсутствии остаточной циркуляции.

Указанные выше значения фактически лимитируют время восстановления источника теплоснабжения после возникновения аварии. Как видно из графиков одним из ключевых факторов является наличие остаточной циркуляции при аварии на источнике теплоснабжения. Для котельных наличие остаточной циркуляции должно быть обеспечено за счет наличия резервных электрических вводов (что предусмотрено действующими правилами эксплуатации).

Также следует отметить, что наступление такого события как авария на источнике теплоснабжения (с полным прекращением теплоснабжения от источника) при расчетной температуре наружного воздуха оценивается (экспертная оценка) как 10^{-4} , так как наступление самого события «наиболее холодная пятидневка с обеспеченностью 0,92» (а именно ей соответствует расчетная температура наружного воздуха для проектирования систем отопления) нормативно предполагается 1 раз в 12 лет, однако фактически за последние 20 лет событие «наиболее холодная пятидневка с обеспеченностью 0,92 и средней температурой наружного воздуха минус 38 град С» не наблюдалось.

1.1 Моделирование гидравлических режимов работы систем теплоснабжения

1.1.1 Моделирование гидравлических режимов работы систем теплоснабжения при отказе элементов тепловых сетей

Было выполнено моделирование следующей ситуации: отказ элементов тепловых сетей в зоне теплоснабжения БТЭЦ, выявлен дефект головного подающего трубопровода Ду 700 мм (см. рисунок 1.3).

По результатам моделирования данного гидравлического режима при отказе тепловых сетей установлено, что существующие резервные перемычки между магистралями БТЭЦ позволят поддержать некоторый пониженный уровень подачи теплоты потребителям в пределах нормативных параметров (со снижением температуры воздуха в зданиях не ниже 12 град. С) во время ликвидации аварий и минимизирует риски прекращения теплоснабжения.

Для восстановления циркуляции теплоносителя рекомендуется выполнить:

- скорректировать располагаемый напор на источнике

Пьезометрические графики, иллюстрирующие гидравлические режимы до смоделированной аварии и после реализации указанных выше мероприятий, представлены на рисунках 1.4-1.9.

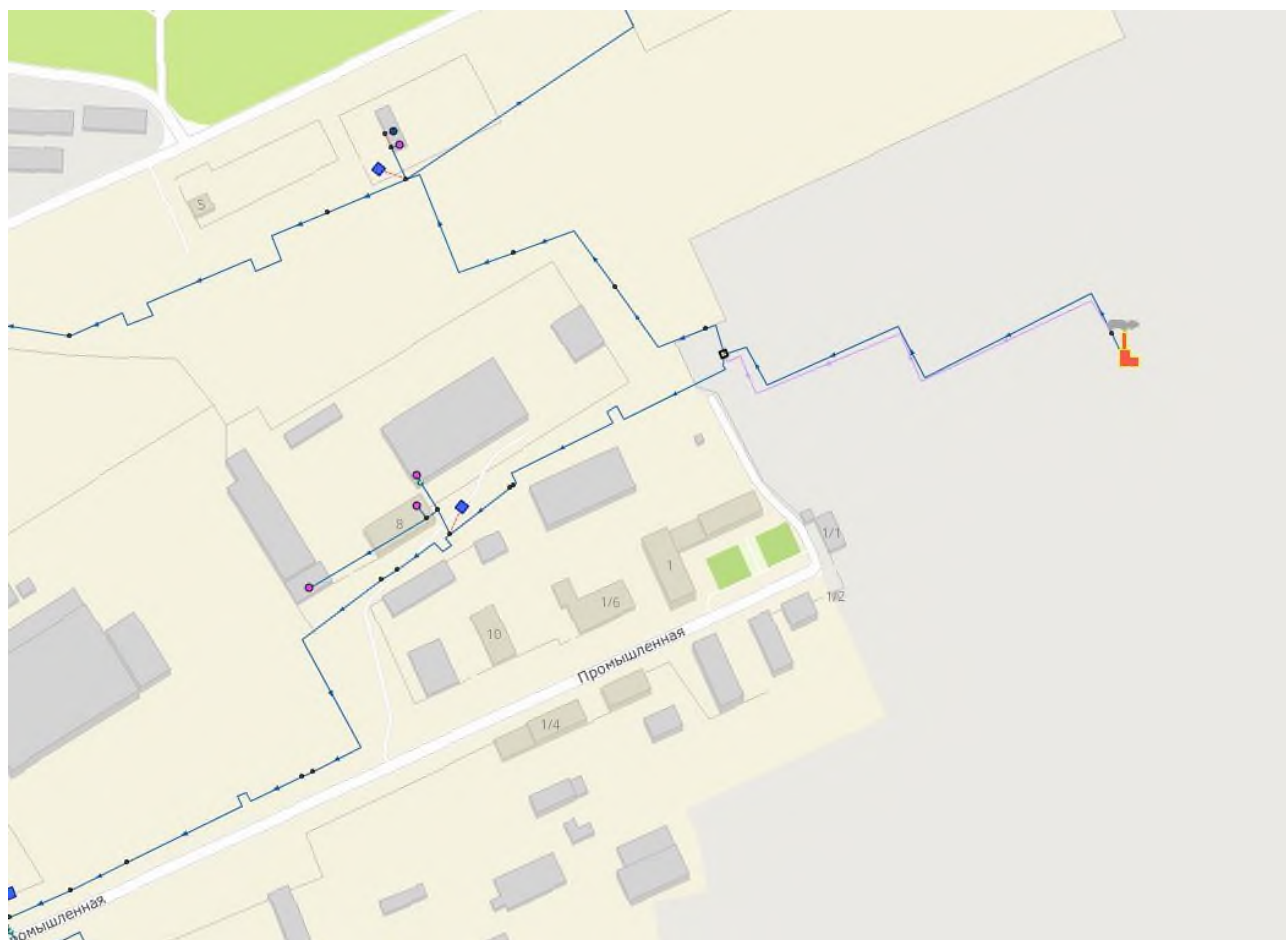


Рисунок 1.3 – Отключаемый трубопровод Ду700 мм с выявленным дефектом

**ОБОСНОВЫВАЮЩИЕ МАТЕРИАЛЫ К СХЕМЕ ТЕПЛОСНАБЖЕНИЯ ГОРОДА КУЙБЫШЕВА КУЙБЫШЕВСКОГО РАЙОНА НОВОСИБИРСКОЙ ОБЛАСТИ
НА ПЕРИОД ДО 2040 ГОДА (АКТУАЛИЗАЦИЯ НА 2026 ГОД). ГЛАВА 11 «ОЦЕНКА НАДЕЖНОСТИ ТЕПЛОСНАБЖЕНИЯ». ПРИЛОЖЕНИЕ 1**

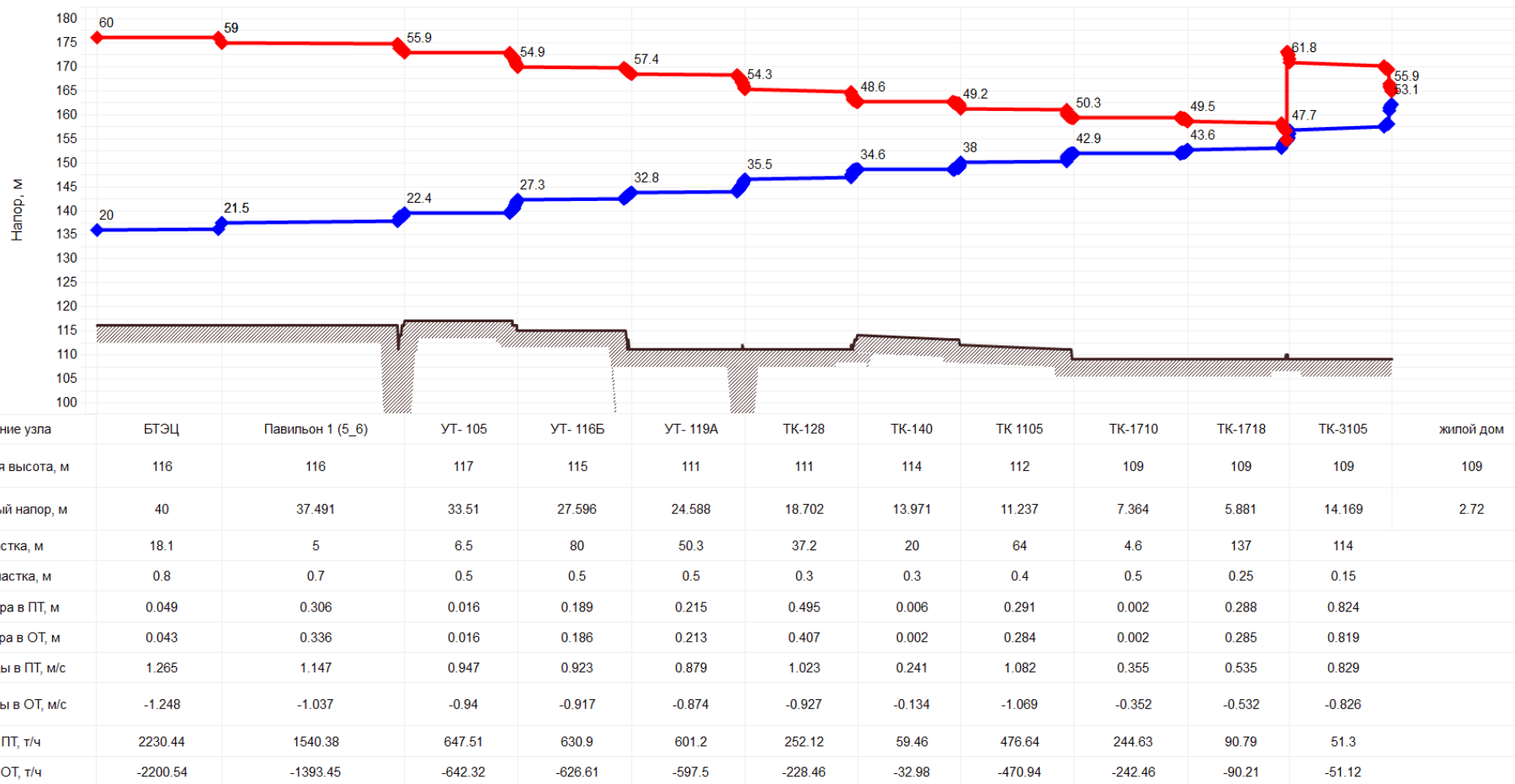
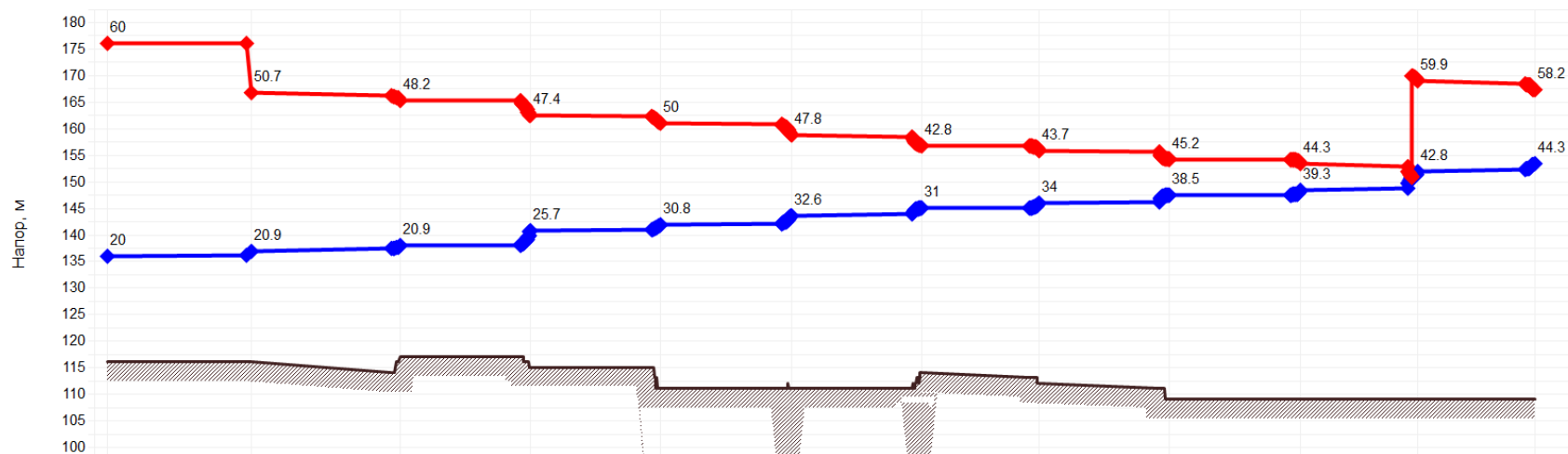


Рисунок 1.4 – Пьезометрический график нормального гидравлического режима БТЭЦ – ул. Агафонова д. 75

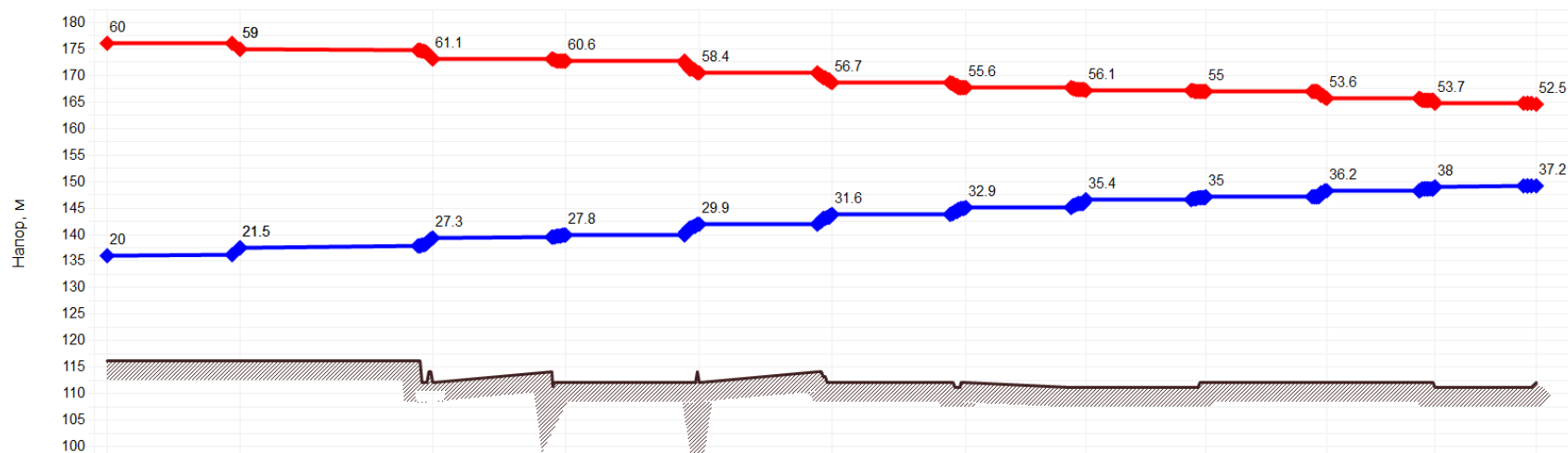
**ОБОСНОВЫВАЮЩИЕ МАТЕРИАЛЫ К СХЕМЕ ТЕПЛОСНАБЖЕНИЯ ГОРОДА КУЙБЫШЕВА КУЙБЫШЕВСКОГО РАЙОНА НОВОСИБИРСКОЙ ОБЛАСТИ
НА ПЕРИОД ДО 2040 ГОДА (АКТУАЛИЗАЦИЯ НА 2026 ГОД). ГЛАВА 11 «ОЦЕНКА НАДЕЖНОСТИ ТЕПЛОСНАБЖЕНИЯ». ПРИЛОЖЕНИЕ 1**



Наименование узла	БТЭЦ	Павильон 1	УТ- 105	УТ- 116Б	УТ- 119А	ТК-128	ТК-140	ТК 1105	ТК-1710	ТК-1718	ТК-3105	жилой дом
Геодезическая высота, м	116	116	117	115	111	111	114	112	109	109	109	109
Располагаемый напор, м	40	29.775	27.335	21.744	19.184	15.228	11.793	9.72	6.712	4.946	17.123	13.881
Длина участка, м	18.1	160.2	6.5	80	50.3	37.2	20	64	4.6	143.5	125.2	
Диаметр участка, м	0.8	0.5	0.5	0.5	0.5	0.3	0.3	0.4	0.5	0.25	0.15	
Потери напора в ПТ, м	0.035	0.576	0.017	0.197	0.184	0.338	0.012	0.224	0.002	0.395	0.472	
Потери напора в ОТ, м	0.03	0.448	0.013	0.147	0.146	0.261	0.004	0.21	0.002	0.391	0.467	
Скорость воды в ПТ, м/с	1.026	0.786	0.772	0.753	0.717	0.814	0.282	0.853	0.325	0.575	0.57	
Скорость воды в ОТ, м/с	-0.998	-0.733	-0.72	-0.704	-0.67	-0.716	-0.169	-0.825	-0.314	-0.572	-0.567	
Расход в ПТ, т/ч	1810.08	499.45	490.39	478.47	455.67	200.69	69.42	375.69	224.01	97.55	35.25	
Расход в ОТ, т/ч	-1759.08	-485.4	-476.78	-465.7	-443.44	-176.41	-41.66	-363.57	-216.54	-97.02	-35.08	

Рисунок 1.5 – Пьезометрический график аварийного гидравлического режима БТЭЦ – ул. Агафонова д. 75

**ОБОСНОВЫВАЮЩИЕ МАТЕРИАЛЫ К СХЕМЕ ТЕПЛОСНАБЖЕНИЯ ГОРОДА КУЙБЫШЕВА КУЙБЫШЕВСКОГО РАЙОНА НОВОСИБИРСКОЙ ОБЛАСТИ
НА ПЕРИОД ДО 2040 ГОДА (АКТУАЛИЗАЦИЯ НА 2026 ГОД). ГЛАВА 11 «ОЦЕНКА НАДЕЖНОСТИ ТЕПЛОСНАБЖЕНИЯ». ПРИЛОЖЕНИЕ 1**



Наименование узла	БТЭЦ	Павильон 1 (5_6)	УТ 3	НО 7	НО 12	УТ 14а	УТ 1605	ТК 1613	ТК 1403	УТ-2701	ТК 2717	жилой дом
Геодезическая высота, м	116	116	112	112	112	112	112	111	112	112	111	112
Располагаемый напор, м	40	37.491	33.749	32.836	28.489	25.043	22.699	20.649	19.989	17.464	15.691	15.355
Длина участка, м	18.1	5	30	10	4	20	48.5	82	100	1	28.6	
Диаметр участка, м	0.8	0.7	0.8	0.8	0.7	0.7	0.5	0.5	0.5	0.2	0.07	
Потери напора в ПТ, м	0.049	0.306	0.036	0.012	0.01	0.079	0.04	0.02	0.01	0.002	0.074	
Потери напора в ОТ, м	0.043	0.336	0.035	0.012	0.009	0.077	0.105	0.095	0.011	0.002	0.067	
Скорость воды в ПТ, м/с	1.265	1.147	0.889	0.887	1.158	1.135	0.496	0.27	0.159	0.403	0.256	
Скорость воды в ОТ, м/с	-1.248	-1.037	-0.876	-0.874	-1.143	-1.121	-0.843	-0.617	-0.157	-0.4	-0.255	
Расход в ПТ, т/ч	2230.44	1540.38	1567.74	1564.17	1563.63	1533.66	338.83	186.27	108.84	44.38	3.43	
Расход в ОТ, т/ч	-2200.54	-1393.45	-1545.91	-1542.84	-1543.37	-1514.46	-576.36	-425.15	-107.78	-43.97	-3.42	

Рисунок 1.6 – Пьезометрический график нормального гидравлического режима БТЭЦ – ул. Речная д. 11

**ОБОСНОВЫВАЮЩИЕ МАТЕРИАЛЫ К СХЕМЕ ТЕПЛОСНАБЖЕНИЯ ГОРОДА КУЙБЫШЕВА КУЙБЫШЕВСКОГО РАЙОНА НОВОСИБИРСКОЙ ОБЛАСТИ
НА ПЕРИОД ДО 2040 ГОДА (АКТУАЛИЗАЦИЯ НА 2026 ГОД). ГЛАВА 11 «ОЦЕНКА НАДЕЖНОСТИ ТЕПЛОСНАБЖЕНИЯ». ПРИЛОЖЕНИЕ 1**

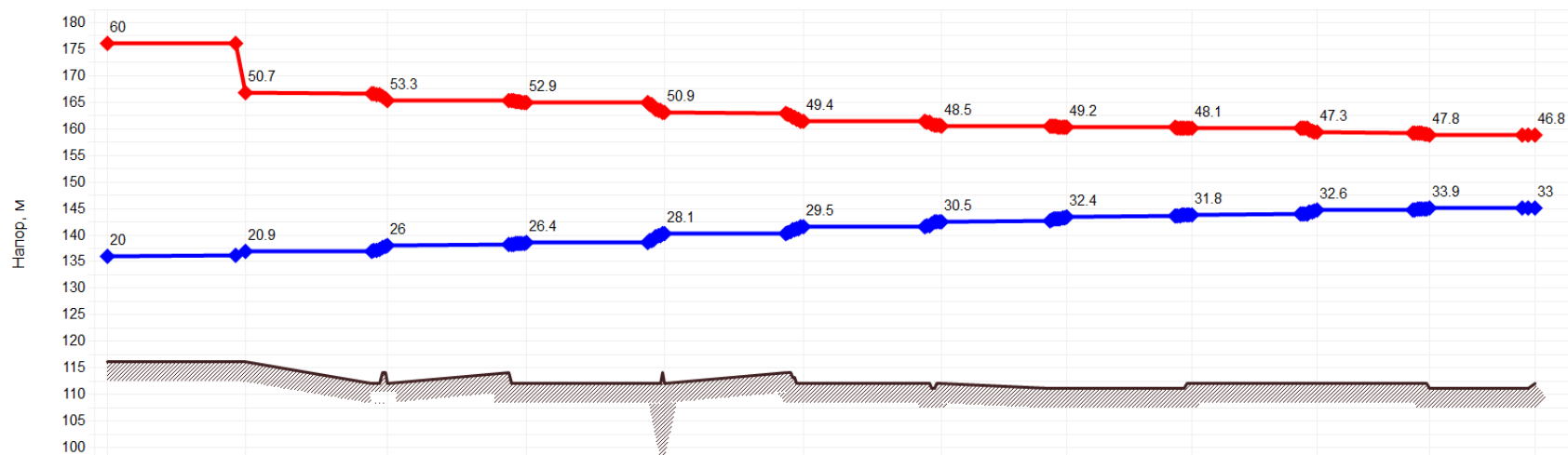


Рисунок 1.7 – Пьезометрический график аварийного гидравлического режима БТЭЦ – ул. Речная д. 11

**ОБОСНОВЫВАЮЩИЕ МАТЕРИАЛЫ К СХЕМЕ ТЕПЛОСНАБЖЕНИЯ ГОРОДА КУЙБЫШЕВА КУЙБЫШЕВСКОГО РАЙОНА НОВОСИБИРСКОЙ ОБЛАСТИ
НА ПЕРИОД ДО 2040 ГОДА (АКТУАЛИЗАЦИЯ НА 2026 ГОД). ГЛАВА 11 «ОЦЕНКА НАДЕЖНОСТИ ТЕПЛОСНАБЖЕНИЯ». ПРИЛОЖЕНИЕ 1**

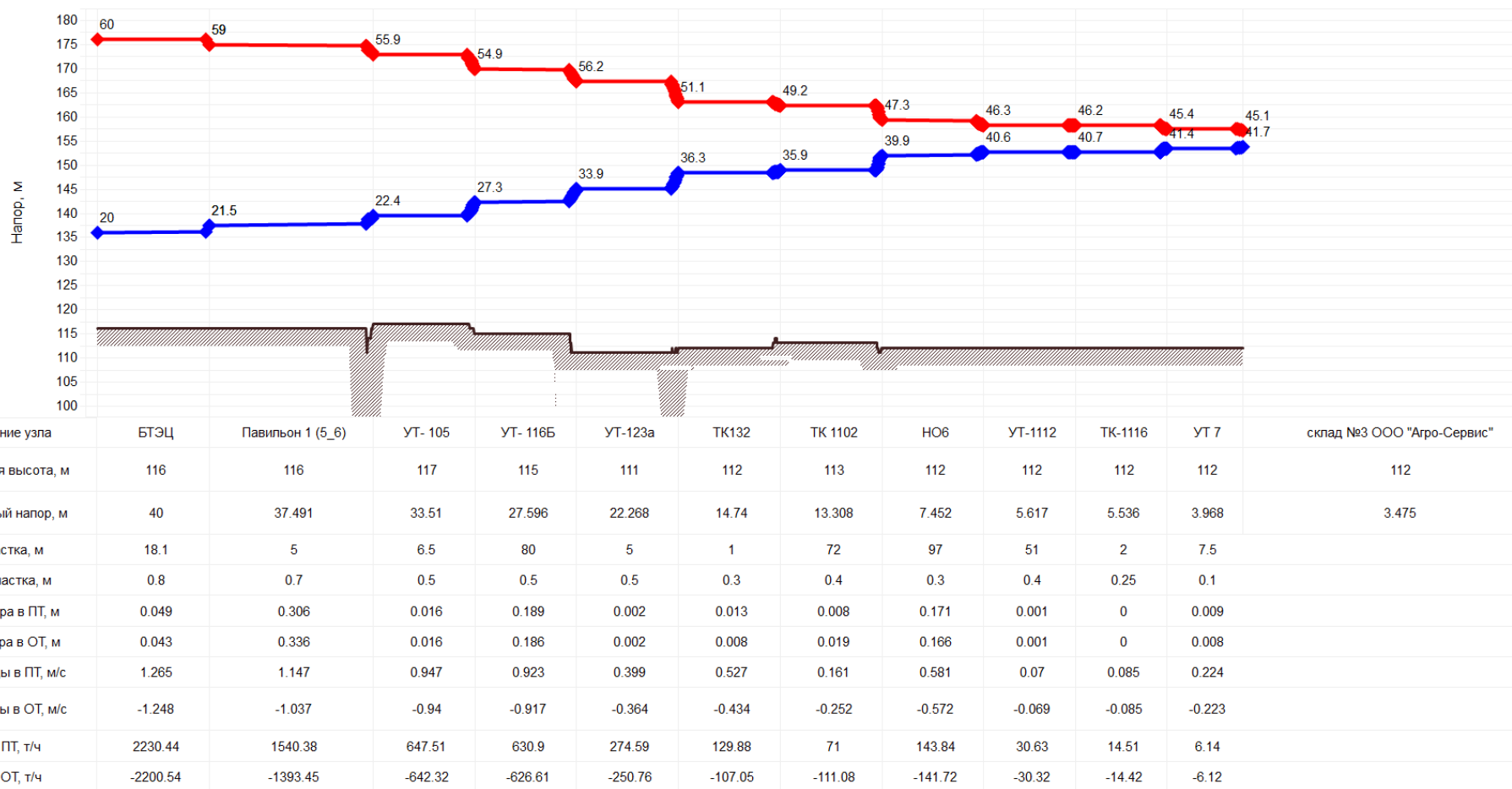


Рисунок 1.8 – Пьезометрический график нормального гидравлического режима БТЭЦ – ул. Октябрьская д. 53

**ОБОСНОВЫВАЮЩИЕ МАТЕРИАЛЫ К СХЕМЕ ТЕПЛОСНАБЖЕНИЯ ГОРОДА КУЙБЫШЕВА КУЙБЫШЕВСКОГО РАЙОНА НОВОСИБИРСКОЙ ОБЛАСТИ
НА ПЕРИОД ДО 2040 ГОДА (АКТУАЛИЗАЦИЯ НА 2026 ГОД). ГЛАВА 11 «ОЦЕНКА НАДЕЖНОСТИ ТЕПЛОСНАБЖЕНИЯ». ПРИЛОЖЕНИЕ 1**

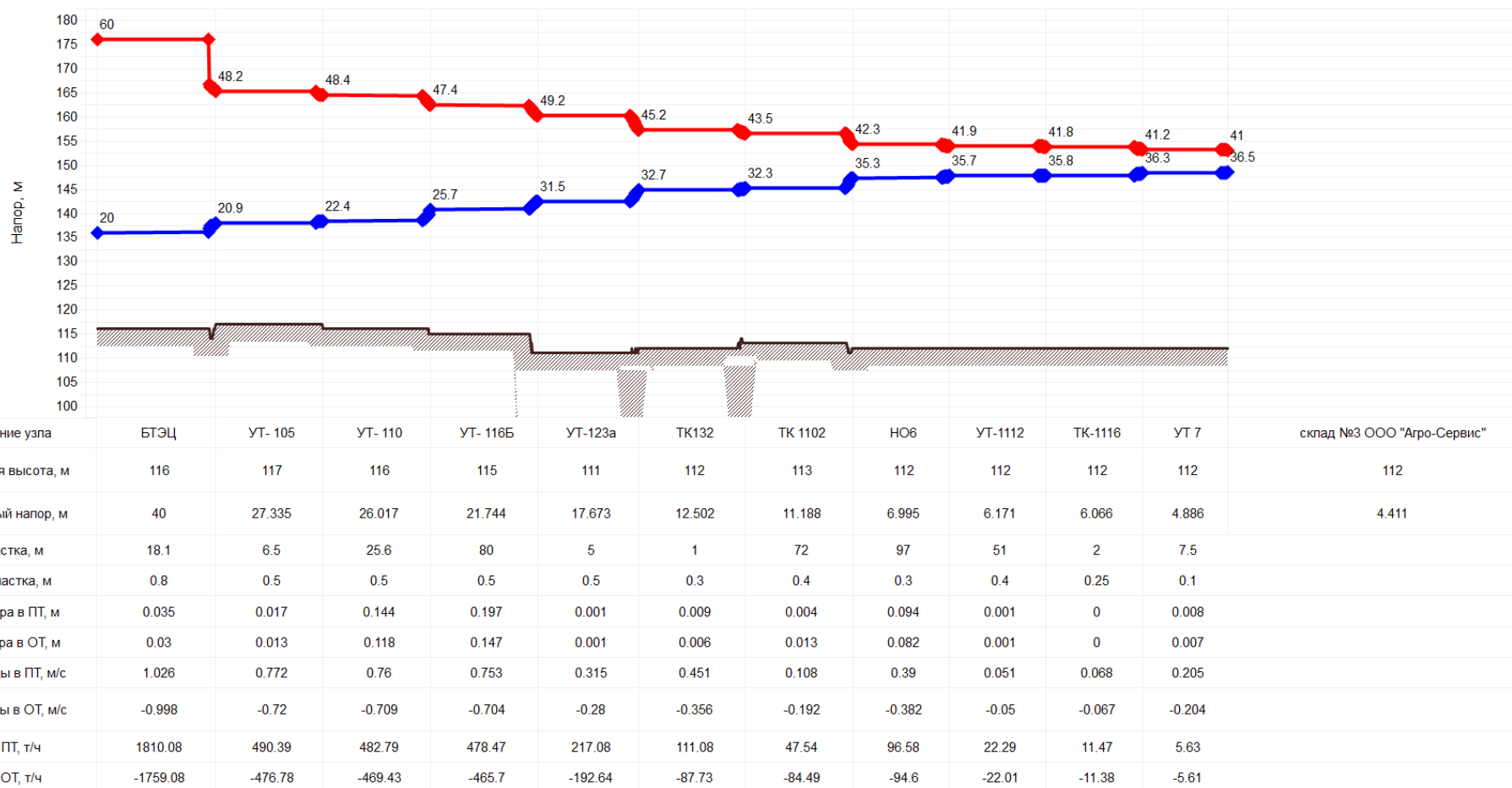


Рисунок 1.9 – Пьезометрический график аварийного гидравлического режима БТЭЦ – ул. Октябрьская д. 53